

К. ф.-м. н. В. П. СИВОКОНЬ

Украина, г. Херсон, Экономико-правовой институт

Дата поступления в редакцию  
13.10 1998 г.

Оппонент д. ф.-м. н. В. А. ДРОЗДОВ

## ГИБРИДНАЯ ВЫСОКОРАЗРЕШАЮЩАЯ ЭЛЕКТРООПТИЧЕСКАЯ СИСТЕМА ДЛЯ ПОДАВЛЕНИЯ ФАЗОВЫХ ИСКАЖЕНИЙ

*Предложенная система способна компенсировать фазовые искажения не только плоской волны, но и лазерных пучков с неоднородным амплитудным профилем.*

*The proposed circuit is able to compensate phase distortions not only flat waves, but laser beam of rays with non-uniform amplitude profile.*

За последние годы в технологии производства фазовых корректоров высокого разрешения — таких как адаптивные зеркала, жидкокристаллические модуляторы (ЖКМ) и жидкокристаллические телевизоры (ЖКТВ) — произошли значительные изменения. Теперь возможно получение фазовых корректоров с числом каналов управления  $N=200$  (зеркала) [1] и даже 10000 (ЖКТВ) [2]. Использование для таких систем старых алгоритмов управления наталкивается на ряд трудностей. Классические адаптивные системы, основанные на оценке волнового фронта с помощью гармановского датчика, резко теряют свою эффективность и катастрофически дорожают с ростом  $N$  [3]. Другие подходы, основанные на послерегистрационной обработке, такие как метод фазового разнообразия [4], восстановление по биспектруму [5] или прямое восстановление фазы по зарегистрированным распределениям интенсивности [6], характеризуются низким быстродействием и вряд ли смогут быть использованы в реальных адаптивных системах ближайшего будущего.

В данной статье представлена гибридная высокоразрешающая электрооптическая система для подавления фазовых искажений и итеративный алгоритм для ее управления. Главным преимуществом системы является то, что она работает только с распределениями интенсивностей (зарегистрированных в ближнем и дальнем поле), избегая, таким образом, прямого измерения фазы. Каждый корректирующий шаг алгоритма включает регистрацию распределения интенсивности и его простую обработку (в основном фильтрацию в спектральной области). В основу алгоритма положен тот факт, что благодаря дифракции фазовые искажения могут быть трансформированы в неоднородности интен-

сивности в ближнем поле. Используя это распределение интенсивности, мы можем организовать отрицательную обратную связь так, что работа нашей электрооптической системы будет приводить к подавлению фазовых искажений.

В настоящей реализации алгоритм слабо чувствителен к крупномасштабным фазовым искажениям, так что предполагается, что они (по крайней мере наклоны и дефокусировка) компенсируются независимо с помощью обычной адаптивной оптики. В силу различия временных и пространственных масштабов у крупно- и мелкомасштабных фазовых искажений такое разделение каналов может дать заметные дополнительные преимущества. Однако это требует и слабого взаимного влияния каналов, что как раз и реализуется в нашем алгоритме.

Предлагаемый алгоритм управления высокоразрешающими фазовыми корректорами весьма близок к процессам, происходящим в оптических системах с нелинейной двумерной оптической обратной связью [7], которые доказали эффективность коррекции фазовых искажений у плоской волны. Главным отличием является то, что в нашей системе обратная связь реализована не оптически, а электронно, обеспечивая тем самым большую свободу конструкции системы и модификации алгоритма.

Проведенное нами численное моделирование работы системы показало, что предложенная система способна компенсировать фазовые искажения не только плоской волны, но и лазерных пучков с неоднородным амплитудным профилем. Обнаружено также, что в некоторых случаях компенсация искажений сопровождается возникновением локализованных фазовых состояний (малых областей), где фаза имеет сдвиг на  $2\pi$ . Такой сдвиг фазы ровно на  $2\pi$  никак не проявляется в реальных оптических системах видения или фокусировки излучения, но может оказаться полезным в иных оптических приложениях (оптическая память, выделение особенностей и т. п.).

### Конфигурация системы

Оптическая схема системы высокого разрешения для подавления фазовых искажений представлена на рис. 1, а. Система имеет два раздельных канала, причем коррекция крупномасштабных aberrаций  $\varphi_K$  осуществляется обычной адаптивной опти-

## ОПТОЭЛЕКТРОННЫЕ СИСТЕМЫ

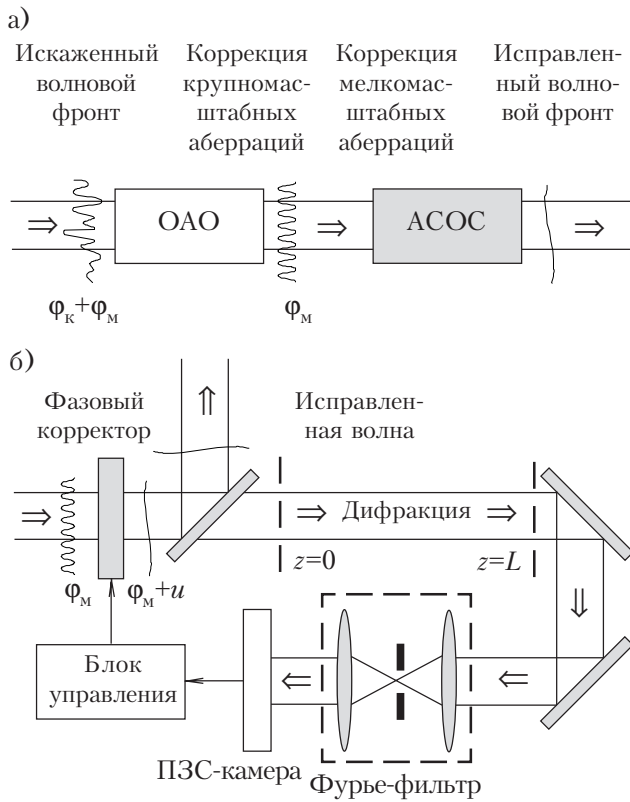


Рис. 1. Оптическая схема высокоразрешающей системы подавления фазовых искажений

кой (ОАО), а подавление мелкомасштабных фазовых искажений  $\Phi_m$  производится высокоразрешающей адаптивной системой с обратной связью (АСОС), более подробная схема которой представлена на рис. 1, б.

Падающая световая волна с комплексной амплитудой  $A_{\text{пад}}(r,t)=A_0(r)\exp(i\phi(r,t))$  (где  $i^2=-1$ ,  $t$  — время,  $r=\{x,y\}$  — пространственные координаты в плоскости, перпендикулярной оси распространения  $z$ ,  $A_0(r)$  — амплитуда,  $\phi(r,t)$  — фаза волны) проходит последовательно через крупномасштабный фазовый корректор (обычно гибкое деформируемое зеркало ДЗ) и высокоразрешающий сегментный корректор (обычно ЖКМ или ЖКТВ). Выходящая волна  $A_{\text{вых}}(r,t)=A_0(r)\exp(i\psi(r,t))$  имеет остаточную fazу  $\psi(r,t)=\phi(r,t)+u(r,t)$ , где  $u(r,t)$  — полная корректирующая фаза, вносимая как ДЗ, так и ЖКТВ. Подавление искажений приводит к тому, что фазовые aberrации выходящей волны заметно меньше aberrаций входящей:  $|\psi| \ll |\phi|$ .

Главной частью контура подавления мелкомасштабных aberrаций является преобразование фазы в интенсивность (“визуализация фазы”), которое в данной системе осуществляется посредством дифракции выходящей волны от  $z=0$  до  $z=L$  и последующей ее фильтрации в спектральной области. Эта фильтрация может быть проведена оптически посредством пары линз и малой диафрагмы, входящих в состав Фурье-фильтра (см. рис. 1, б). Интенсивность дифрагированной и отфильтрованной волны, которая при определенных условиях будет

пропорциональна фазе волны, затем регистрируется стандартным устройством на основе прибора с зарядовой связью (ПЗС-камерой) и служит входным сигналом в цепи электронной обратной связи. Отметим, что можно удалить оптический Фурье-фильтр и провести требуемую фильтрацию дифрагированной волны электронным образом посредством компьютера. Таким образом можно осуществить более гибкую и сложную обработку интенсивности, что в ряде случаев может быть очень эффективно.

### Итерационная схема коррекции

Пусть падающая волна  $A_{\text{пад}}(r,t)$  имеет стационарный профиль интенсивности  $I_0(r)=|A_0(r)|^2$  и фазы  $\phi(r)$ . Тогда комплексная амплитуда поля  $A(r,z,t)$  сразу после фазового корректора (в плоскости  $z=0$ , рис. 1, б) имеет вид

$$A(r,0,t)=A_0(r)\exp[iu(r,t)+i\phi(r)]. \quad (1)$$

Определим итерационную процедуру коррекции фазы для управляющего сигнала  $u^{(m)}=u(r,t=t_m)$  как

$$u^{(m+1)}=(1-\alpha^{(m)})u^{(m)}+\alpha^{(m)}Ru_{\text{oc}}^{(m)}, \quad m=1, 2, 3, \dots; \quad (2, a)$$

$$u_{\text{oc}}^{(m)}=f_{\text{TB}}(G\{I_L^{(m)}-I_0\}). \quad (2, b)$$

Здесь  $\alpha^{(m)}$  — некоторый параметр,  $R$  — коэффициент обратной связи,  $u_{\text{oc}}^{(m)}(r)$  — сигнал обратной связи,  $f_{\text{TB}}(I(r))$  — кривая чувствительности ЖКТВ или ЖКМ, применяемого в системе, а  $G\{\cdot\}$  обозначает оператор, который описывает требуемую фильтрацию интенсивностей волн:  $I_0(r)$  — до дифракции и  $I_L^{(m)}(r)$  — после дифракции на расстояние  $L$ . Если Фурье-фильтр (рис. 1) реализован электронно, то

$$G\{I_L^{(m)}-I_0\}\equiv F^{-1}\{TF\{I_L^{(m)}-I_0\}\}, \quad (3)$$

где  $F, F^{-1}$  — соответственно прямое и обратное Фурье-преобразование;  $T=T(q)$  — передаточная функция фильтра. (В дальнейшем мы будем иметь дело только с ротационно-инвариантными фильтрами, передаточная функция которых зависит только от модуля  $q=|\mathbf{q}|$  вектора пространственной частоты  $\mathbf{q}=\{q_x, q_y\}$ ;  $T(\mathbf{q})=T(q)$ .)

Смысл алгоритма коррекции (2) состоит в том, что на каждом шаге для получения новой фазы корректора  $u^{\text{нов}}$  к текущей фазовой оценке  $u^{(m)}$  добавляется вклад, пропорциональный распределению интенсивности дифрагированной волны  $Ru_{\text{oc}}^{(m)}$ , изменение которого, как можно показать, отражает изменение самой фазы  $u^{(m)}$ . При этом отрицательность коэффициента обратной связи  $R$  гарантирует уменьшение абсолютного значения остаточной фазы  $\psi=\phi+u$  на следующем шаге:  $|\psi^{(m+1)}| < |\psi^{(m)}|$ . Следует также отметить, что алгоритм (2) можно в какой-то степени считать дискретным, конечно-разностным аналогом дифференциального уравнения, описывающего процессы в нелинейных оптических системах с обратной связью. Как было показано в [7], такие системы способны компенсировать фазовые искажения, но только у плоской волны. В отличие от таких нелинейных оптических систем фильтрация в (2, б) не самой интенсивности  $I_L$  дифрагированной волны, а разности между ней и интенсив-

## ОПТОЭЛЕКТРОННЫЕ СИСТЕМЫ

ностью входной волны  $I_0$ , позволяет устраниить паразитное перерастание крупномасштабных неоднородностей интенсивности в неоднородности фазы. Это обеспечивает эффективную коррекцию фазовых искажений не только для плоской волны, но и для более реального случая — светового пучка.

Для сегментированного корректора с функциями отклика  $S_n(r)$  поршневого типа (случай ЖКТВ) управляющая фаза принимает вид

$$u(r, t) = \sum u_n(t) S_n(r), \quad n=1, \dots, N, \quad (4)$$

где  $u_n(t)$  — сигнал управления  $n$ -го сегмента (канала) — определяется как

$$u_n(t) = (1/a^2) \int u(r, t) S_n(r) d^2r, \quad n=1, \dots, N. \quad (5)$$

(Здесь мы предполагаем, что все сегменты имеют одинаковую квадратную ( $a \times a$ ) геометрию, и их функции отклика  $S_n(r)$  не пересекаются. Данная ситуация типична для ЖК-телевизора, работающего в фазовом режиме.)

Обобщенная схема итерационной процедуры коррекции волнового фронта для предлагаемого алгоритма показана на **рис. 2**, где через  $I_{oc}$  обозначена интенсивность “обратной связи” (используемая для вычисления сигнала обратной связи  $u_{oc}$ ). Поскольку этап дифракции реализован оптически, то каждый шаг процедуры требует выполнения только двух преобразований Фурье (для оператора  $G$ ), что может быть быстро выполнено в реальном масштабе времени.

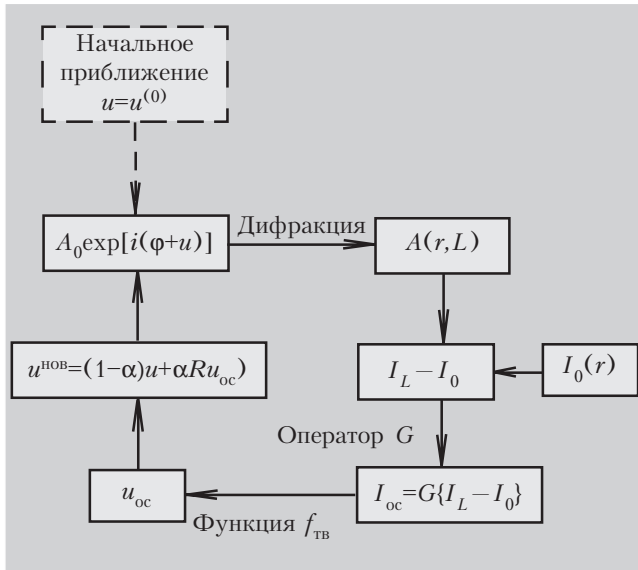


Рис. 2. Итерационная схема коррекции

Анализ спектрального коэффициента подавления фазовых искажений  $P(q)=\Psi(q)/\Phi(q)$  для данной итерационной процедуры в линейном приближении был проведен в [8], где было получено следующее выражение для  $P(q)$ :

$$P(q)=1/[1-2RI_0T(q)\sin(q^2L/2k)]. \quad (6)$$

Здесь  $\Phi(q)=F\{\phi\}$  и  $\Psi(q)=F\{\psi\}$  — спектры исходной и остаточной фазы,  $k=2\pi/\lambda$  — волновой вектор,  $\lambda$  — длина волны излучения.

В соответствии с (6) подавление фазовых искажений происходит в спектральных областях, где  $|P(q)| < 1$ . Для отрицательного коэффициента обратной связи ( $R < 0$ ) это приводит к требованию

$$T(q)\sin(q^2L/2k) > 0. \quad (7)$$

Во избежание самовозбуждения и усиления искажений необходимо изменять знак передаточной функции фильтра  $T(q)$  в тех спектральных областях, где синус в (7) меняет знак. Легко показать, что эти области соответствуют кольцам с радиусами  $q_k (q_k^2 L/2k = K\pi, K=1, 2, 3, \dots)$ . В силу квадратичной зависимости от  $q$  в (7) такой фильтр трудно реализовать на практике, и обычно ограничиваются работой только в первом кольце  $q < q_1$ , где условие (7) заведомо выполнено.

### Моделирование системы

Мы провели компьютерное моделирование работы итерационного алгоритма как для сегментного, так и для непрерывного фазового корректора. Во всех вычислениях коэффициент обратной связи был равен  $R=-8$ , параметр  $\alpha=0,1$ . Дифракция световой волны описывалась с помощью уравнения квазиоптики

$$-2ik \frac{\partial A}{\partial z} = \frac{\partial^2 A}{\partial x^2} + \frac{\partial^2 A}{\partial y^2}, \quad k = 2\pi/\lambda, \quad (8)$$

которое решалось по стандартной методике с помощью быстрого преобразования Фурье [9, с. 258]. Вычисления проводились на квадратной однородной сетке  $128 \times 128$ . Для моделирования коррекции фазы для светового пучка диаметра  $D$  мы использовали супергауссовский профиль в виде

$$A_0(r) = \exp\left(-\left(\frac{2r}{D}\right)^{16}\right). \quad (9)$$

Каждая реализация случайной фазы  $\phi(r)$  формировалась в спектральной области, и условие  $\Phi^*(q)=\Phi(-q)$  всегда выполнялось, чтобы  $\phi(r)$  была действительной функцией. Сила aberrаций давалась изменением  $|\Phi|$  и характеризовалась стандартным отклонением  $\sigma$  фазы и соответствующим числом Штреля (St) [9, с. 62]. (Напомним, что число Штреля равно отношению интенсивности искаженной волны в фокусе линзы к соответствующей интенсивности для неискаженной волны. Оно всегда меньше или равно 1 и показывает относительную степень деградации волны за счет фазовых искажений.)

Для оценки деградации в коррекции, вызванной конечным числом каналов управления сегментного корректора  $N$ , мы провели серию вычислений. Передаточная функция фильтра  $T(q)$  тождественно равнялась 1 всюду внутри первой зоны стабильности  $q < q_1$  и 0 — вне ее. Внутри этой зоны спектральная плотность фазы имела постоянную амплитуду  $\Phi(q)=\Phi_0$  и случайную  $\delta$ -коррелированную фазу, однородно распределенную в интервале  $[0, 2\pi]$ , так что в идеальном случае корректор был способен произвести полную коррекцию этих искажений.

В качестве модельной функции  $f_{tv}$  ЖК-телевизора использовалась модуляционная кривая реаль-

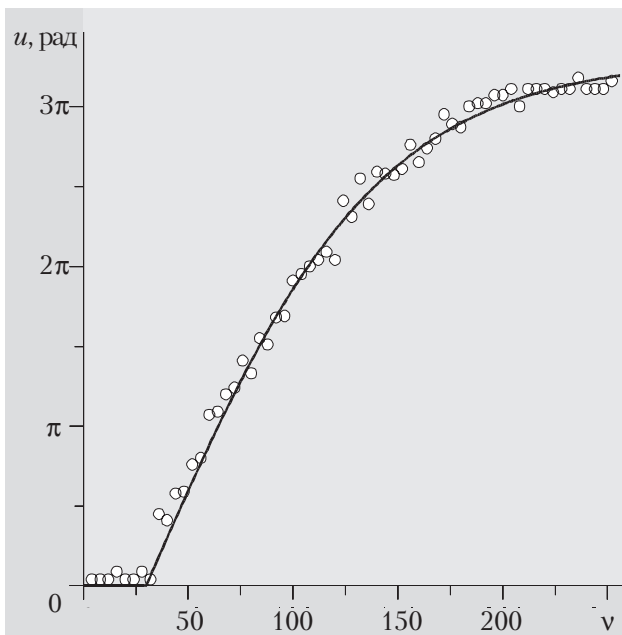


Рис. 3. Типичная модуляционная кривая ЖК-телеvisorов

ного ЖКТВ из работы [10]. Ее график приведен на рис. 3.

Результаты численного моделирования представлены в виде графика эффективности фазовой коррекции в зависимости от числа каналов управления (числа сегментов корректора)  $N$  для случая уменьшенных фазовых искажений ( $St=0,69$ ,  $\sigma=0,61$  рад) — рис. 4 ( $\sigma^2$  — дисперсия фазы). Примеры искаженной и скорректированной фазы (точки *a*—*f*) представлены в нижней части рис. 4. Изображения *g* и *h* — это спектры искаженной (*a*) и скорректированной (*f*) фазы. Корректор с  $N=128 \times 128$  соответствует управлению каждым узлом вычислительной сетки, т. е. корректору с непрерывной поверхностью. Характерным примером таких корректоров могут являться жидкокристаллические пространственные модуляторы света. Сегментация корректора типична для ЖК-телеvisorов, работающих в фазовом режиме [2, с. 585]. Количество итераций, необходимых для сходимости итерационного процесса, во всех случаях было в пределах 20–30.

Представленные результаты подтверждают эффективность итерационного алгоритма коррекции (2). Они также показывают, что сегментный корректор обеспечивает приемлемую коррекцию только если характерный размер сегмента  $a=1/\sqrt{N}$  меньше характерного размера фазовых неоднородностей:  $a < 2\pi/q_0 = 2\pi/q_1 = 1/16$ . Физический смысл данного результата очевиден.

\* \* \*

Проведенный анализ демонстрирует высокий потенциал данной системы для коррекции фазовых искажений световых пучков, в т. ч. с неоднородным распределением интенсивности по сечению пучка. Перспективным представляется также возможность использования данной адаптивной системы как

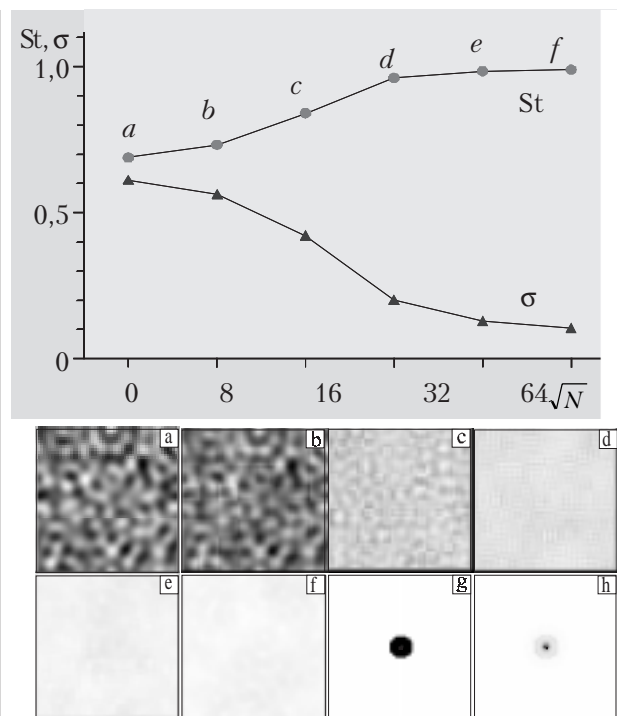


Рис. 4. Эффективность подавления фазовых искажений вторичного контура адаптивной коррекции мелкомасштабных искажений, наведенных атмосферой.

#### ИСПОЛЬЗОВАННЫЕ ИСТОЧНИКИ

- Roggemann M. C., Welsh B. M. Imaging through turbulence. — Boca Raton, Florida: CRCPress, 1996.
- Spatial light modulator technology: materials, devices and applications / Ed. U. Efron. — N.-Y.: Marcel Dekker Press, 1995.
- Primmerman C. A., Price T. R., Humphreys R. A. et al. Atmospheric-compensation experiments in strong-scintillation conditions // Appl. Opt. — 1995. — Vol. 34. — P. 2081–2088.
- Gonsalves R. A. Nonisoplanatic imaging by phase diversity // Opt. Lett. — 1994. — Vol. 19. — P. 493–495.
- Beckers J. M. Adaptive optics for astronomy: principles, performance and applications // Annual review of astronomy and astrophysics. — 1993. — Vol. 31. — P. 13–62.
- Ivanov V. Yu., Sivokon V. P., Vorontsov M. A. Phase retrieval from a set of intensity measurements: theory and experiment // J. Opt. Soc. Am. — 1992. — Vol. A9. — P. 1515–1524.
- Degtiarev E. V., Vorontsov M. A. Spatial filtering in nonlinear two-dimensional feedback systems: phase-distortion suppression // Ibid. — 1995. — Vol. B12. — P. 1238–1248.
- Sivokon V. P., Vorontsov M. A. High-resolution adaptive phase distortion suppression based solely on intensity information // Ibid. — 1998. — Vol. A15. — P. 207–215.
- Воронцов М. А., Шмальгаузен В. И. Принципы адаптивной оптики. — М.: Наука, 1985.
- Dou R., Vorontsov M. A., Sivokon V. P., Giles M. K. Iterative technique for high resolution phase distortion compensation in adaptive interferometers // Optical Engineering. — 1997. — Vol. 36. — P. 3327–3335.